

التحليل المورفومتري لأحواض و أودية التصريف بمدينة بنغازي ـ ليبيا, بالتكامل بين تقنيات نظم معلومات الجغرافية و الاستشعار عن بعد.

ا.م. لبني سليمان بن طاهر. استاذ مساعد/قسم الهندسة المدنية/كلية الهندسة/جامعة بنغازي. E-mail: Lubnabentaher@gmail.com.

الملخص

بهذه الدراسة أجرى التحليل المورفمتري و الهيدرولوجي لأحواض التصريف بمدينة بنغازي باستخدام تقنيات نظم المعلومات الجغرافية والاستشعار عن بعد بمعالجة البيانات المستنبطة من الصور الفضائية ونموذج الارتفاعات الرقمية, فرصد خمس أحواض تصريف تغطى مدينة بنغازي, منبعها مرتفعات الجبل الاخضر والرجمة ومصبها البحر المتوسط؛ انحدار سطح الأرض جعل المدينة عرضه إلى فيضانات بزمن تركيز من6 إلى 23 ساعة حسب الحوض مساحة الحوض و طول مجراه. بالإضافة إلى ارتفاع كثافة التصريف للأحواض الذي جاء نتيجة تأثير النشاط البشري على الأراضي مما منع المياه للوصول إلى الأودية والجداول؛ أكبر الأحواض هو حوض وادي القطارة بمساحة 1648.90km² وبطول للمجرى الرئيسي km 134.87, بكثافة تصريفية منخفضة لزيادة صلابة تكويناته الصخرية بالمرتفعات وطبيعة المناخ الجاف و الشبة جاف والتربة المنفذة بمصبه. و تتدفق به المياه بمتوسط سنوي 7.18 m³/sec. و ثاني اكبر الأحواض هو الحوض بنينا بمساحة 264.62km² وبطول للمجرى الرئيسي 18.64km مؤثرا على منطقة بنيناً ويمتد حتى منتصف مدينة بنغازي شمالا و جنوبا, وكثافته التصريفية عالية نتيجة انخفاض نسبة التشعب للأودية و نفاذية سطح الأرض به, مما ينبه بان منطقة بنينا و المدخل الشرقي الشمالي لمدينة بنغازي و جنوبها عرضة لحدوث سيول بمتوسط تدفق 2.31m³/sec سنويا؛ بناء على نتائج الدراسة وجب اعادة النظر بتصميم شبكة تصريف مياه الأمطار بالمدينة لتلائم هذه الكميات المطيرة بالإضافة إلى إنشاء سدود تعويقيه خارج المدينة لحمايتها من السيول والسماح للتربة المنفذة بتسريب المياه المجمعة لتغذي المياه الجوفية, و عدم التهاون في تطبيق التشريعات التي تحد من عمليات التوسع الحضري على الغطاء النباتي الطبيعي. ايضا التوصية بضرورة استخدام التكامل بين تقنيات الاستشعار عن بعد و نظم المعلومات الجغرافية لدراسة الأحواض و الأودية بدولة ليبيا ذلك بإنشاء قاعدة بيانات مورفومترية ومناخية وهيدرولوجية للاستفادة منها في وضع الخطط التنموية المستقبلية و للحد و التحكم من الفيضانات.

الكلمات المفتاحية : التحليل المورفومتري لأحواض التصريف، نظم المعلومات الجغرافية, الاستشعار عن بعد, مدينة بنغازي.

1 المقدمة

يمكن التنبؤ بالعمليات الهيدرومورفمترية للفيضانات و مناطق الترسيب ومعدلات التعرية بها من خلال الخصائص المورفمترية للأحواض المائية؛ من هذا الأساس اصبحت الدراسات المورفمترية إحدى أهم العلوم للباحثين بمجال المياه لما توفره من قياسات كمية لمختلف الخصائص المتعلقة بالأحواض وشبكاتها المائية و التي يمكن تعيينها من خلال مصادر البيانات متمثلة بالخرائط الطبوغرافية، و الصور الجوية و البيانات الفضائية[1]. من مما لا شك فيه ان الراضي المنخفضة أكثر عرضه للإصابة بالفيضانات عندما يكون هناك أمطار أكثر مما يمكن تصريفه وهذا الأمر ينطبق على موقع مدينة بنغازي يمكن تصريفه وهذا الأمر ينطبق على موقع مدينة بنغازي منها: التكوين الطبوغرافي، والخصائص الهيدرولوجية، والجيولوجية، والمناخية.

تعرضت مدينة بنغازي للعديد من حوادث السيول خلال السنوات الماضية مما الحق بالمدينة أضرار في الممتلكات

العامة والخاصة كما هو موضح بالشكل1, فمدينة بنغازي تقع بمصب أحواض تجري بها المياه على سطح الأرض بشكل مؤقت كونها تحتوي على أودية موسمية, اذ تستقبل تساقط الأمطار خلال فترات قصيرة, فينتج عنها جريان سطحي و غالبا ما يتحول إلى سيول و يتسرب جزء منها إلى المنخفضات المائية دون الاستفادة منها.

توفر تقنيات نظم المعلومات الجغرافية و الاستشعار عن بعد بوقتنا الحاضر, الوقت والجهد في استخلاص الخصائص المورفومترية و تساهم ايضا في تفسير نمط التصريف المائي من خلال نماذج الارتفاعات الرقمي[1], فتزايد الاهتمام من قبل المختصين بالدولة الليبية في السنوات الأخيرة بدراسة ظاهرة السيول و أخطارها التي تتشكل في المجاري المائية التي تقطع مجاريها النسيج العمراني في العديد من مناطق بالدولة، وذلك بعد حوادث وكوارث متعددة اجتاحت بعض المدن





شكل 1. صور لبعض الأضرار التي لحقت بمدينة بنغازي أثر السيول في عام 2018 (مطار بنينا و الصابري و البركة و وادي القطارة).

طبق عدد من الباحثين دراسات عديدة على هذا الصعيد، لكن لم تجرى أي دراسة بخصوص التحليل المورفمتري لأحواض التصريف في مدينة بنغازي واحتساب الخصائص الهيدر ولوجية لها ولكن اقليميا و محليا اجريت عدة در إسات بنفس الهدف و التقنيات لهذه الدر اسة منها ما قدمه كل من: الرواشدة وإخرون 2017 درسوا الخصائص المورفومترية و الهيدرولوجية لحوض وادي الحسا بدولة الاردن, و الشرقاوي و المشاط, 2017, درسا أخطار السيول بحوض وادى الاديرع بمنطقة حائل في المملكة العربية السعودية[2,1] بالإضافة إلى الدراسة التي اعدها عبدالرحمن و عمران, 2018, لهيدرولوجية الأحواض الشرقية لبحيرة دربندخان بدولة العراق, و البحيثي, 2018, بتحليل المعطيات المورفومترية لأحواض التصريف بمدينة حفر الباطن شمال شرق المملكة العربية السعودية, اما النشوان, 2018, درس الخصائص الهدور فومترية لحوض شعيب تمرة في محافظة السليل بالمملكة العربية السعودية [3,4,5], بالإضافة إلى الدراسة التي قدمها العمري. 2020. الذي قام ببحثه بتحليل الخصائص المورفمترية و الهيدرولوجية لأحواض التصريف في منطقة كريتر بعدن بدولة اليمن, و قام الأنصاري. 2020 بإجراء التحليل المور فومترى المقارن لأحواض روافد وادى العتك بشمال غربي مدينة الرياض بالمملكة العربية السعودية [6,7], ايضا الدراسة التي اعدها الخفاجي و الموسوي,2021, لدراسة بعض الخصائص الهيدر ولوجية لحوض وادي شوشيرين الواقع بالحدود الايرانية العراقية وتقدير حجم الناتج الرسوبي, و الدعدي, 2021, الباحثة درست التحليل الرقمي للخصائص

المورفومترية والتضاريسية ومدلولاتها الجيمورفولوجية في حوض وادي رهجان بمدينة مكة المكرمة بالمملكة العربية السعودية اما النيش, و الجبوري,2021, عرضا ببحثهما التحليل الهيدرولوجي لحوض وادي بادوش بدولة العراق [8,9,10].

كل تلك الدراسات تمت بالاعتماد على التكامل بين تقنيات الاستشعار عن بعد و نظم المعلومات الجغرافية و استخلصت جلها مدى جودة استخدام هذه التقنيات و دقتها و السرعة و السهولة بإعداد الخرائط و استنباط الخصائص المورفمترية و الهيدرولوجية لأحواض و اودية التصريف.

لكون مدينة بنغازي من المناطق الواعدة التي تصلح الاستثمار المياه السطحية وبكميات اقتصادية التي من الممكن ان تسهم في تنشيط مختلف القطاعات ولاسيما الزراعية منها؛ اتت هذه الدراسة للكشف عن الخصائص المورفمترية للأحواض و الاودية بمدينة بنغازي بتوظيف التكامل بين تقنيات الاستشعار عن بعد و نظم المعلومات الجغرافية, ذلك بتحديد خصائص شبكة الصرف المائي لتك الأحواض من حيث الخصائص الشكلية و التصريفية بالإضافة إلى إبراز خصائصها الهيدرولوجية من تدفق الذروة و زمن التركيز و حجم الجريان السطحي.

تم الاعتماد على البيانات والمعلومات من الصور الفضائية لمنطقة الدراسة بواسطة برنامج Google Earth وذلك لتوضيح المناطق الحضرية وبالأخص الحيوية منها بكل حوض ودراسة مدى تأثر تلك المناطق بالجريان السطحي من المنبع حتى المصب, وبالإضافة



إلى نماذج الارتفاعات الرقمية (DEM)؛ تم اعداد التحليل الهيدرولوجي للأحواض قيد الدراسة و الخرائط وتصحيحها وارجاعها باستخدام برنامج نظم المعلومات الجغرافية(ArcGIS10.5).

2. التحليل المورفمتري لأنظمة التصريف المائى:

يشير التحليل المورقمتري إلى جميع الخصائص الحوضية القياسية التي تنتج عن اخذ قياسات معينة للأحواض المائية فبهذه الدراسة سيتم التركيز على بعض العمليات الحسابية لإجراء التحليل المورفمتري للأحواض المائية قيد الدراسة كما يلى:

1.2 الخصائص المساحية لأحواض التصريف:

قيست الخصائص المساحية و التضاريسية للأحواض قيد الدراسة من برنامج ArcGIS 10.5 وهي:

- مساحة حوض الوادي A km².
 - طول محيط الحوض P Km.
- طول المجرى الرئيسي في الحوض L Km.
 - عرض الحوض W Km.
 - اقل منسوب للأرض الطبيعية H_{min} m.
 - اعلى منسوب للأرض الطبيعية H_{max} m .

• متوسط منسوب الأرض الطبيعية Havr. m

2.2 الخصائص الشكلية و التصريفية و التضاريسية لأحواض التصريف:

تم احتساب معاملات الخصائص الشكلية و التصريفية و التضاريسية لأحواض منطقة الدراسة وفق المعادلات الرياضية التي عرضت بجدول1, وهي:

- نسبة الاستدارة.
- نسبة الاستطالة.
- نسبة تماسك المحيط
- معامل شكل الحوض.
 - معامل التفلطح.
 - نسبة التضرس.
- النسيج الطبو غرافي.
 - قيمة الوعورة.
 - الرتب النهرية.
 - نسبة التشعب.
- الكثافة التصريفية و العددية.
 - معدل بقاء المجرى.

جدول1 المعادلات الرياضية لحساب الخصائص الشكلية و التصريفية و التضاريسية لأحواض التصريف[11,12,13,14].

تعريف الرموز	صيغة المعادلة	المعامل	رقم المعادلة
A=مساحة الحوض Km ² . P=محيط الحوضKm. R= نسبة الاستدارة.	$R_{C}=4\times\pi\times\left(\frac{A}{p^{2}}\right)$	نسبة الاستدارة.	1
${ m Km}^2$ مساحة الحوض ${ m Km}^2$. ${ m L}$ طول المجرى الرئيسي الحوض ${ m Km}$. ${ m = }$ سبة الاستطالة.	$R_e = \frac{2}{L} \times \left(\frac{A}{\pi}\right)^{0.5}$	نسبة الاستطالة.	2
السندارة. $R_C=$ نسبة الاستدارة. $R_f=$ نسبة النماسك.	$R_f = \frac{1}{\sqrt{R_C}}$	نسبة التماسك.	3
A_مساحة الحوض Km². L=طول المجرى الرئيسي الحوضKm. S= معامل شكل الحوض.	$S_f = \frac{A}{L^2}$	معامل شكل الحوض.	4
$ m A-$ مساحة الحوض $ m Km^2$. m E-طول المجرى الرئيسي الحوض $ m Km$. $ m E_f=$ معامل التفاطح $ m E_f$.	$B_f = \frac{L}{A}$	معامل التفلطح.	5
H _{max} = اقصى منسوب لسطح الأرض بالحوض m. H _{min} =اقل منسوب لسطح الأرض بالحوض m. L=طول المجرى الرئيسي الحوضKm. R _r = نسبة النضرسm/km .	$R_r = \frac{H_{max} - H_{min}}{L}$	نسبة التضرس.	6
Nu= مجموع عدد الاودية حسب الرتب. P=محيط الحوضKm. T= نسبة التقطع km /وادي.	$T_B = \frac{N_U}{P}$	نسبة تقطع الحوض.	7
$H_{\max} = 1$ أقصى منسوب لسطح الأرض بالحوض m . $H_{\min} = 1$ قل منسوب لسطح الأرض بالحوض m . $M = 1$ كثافة تصريفية للحوض. $M = 1$ حلول المجرى الرئيسي الحوض M . $M = 1$ الوعورة M .	$R_n = D \times (H_{max} - H_{min})/1000$	قيمة الوعورة.	8



تعريف الرموز	صيغة المعادلة	المعامل	رقم المعادلة
Lu = طول الوادي حسب الرتبة u. Nu = عدد الأودية حسب الرتبة u. L _{SM} = متوسط طول المجرى الماني m.	$L_{SM} = \frac{\sum L_u}{N_u}$	متوسط طول مجرى الرتبة النهرية.	9
ارتبة الرتبة $=N_u$ عدد الأودية الرتبة $=N_{1+u}$ عدد الاودية الرتبة الاعلى $=N_{1+u}$	$R_{5} = \frac{N_{u}}{N_{u+1}}$	نسبة التشعيب.	10
Lu= طول الوادي حسب الرتبة km u. A=مساحة الحوض Km². D= كثافة التصرف 1/ km	$D = \frac{\sum L_u}{A}$	كثَّافة التَصر ف _.	11
ا الاودية حسب الرتبة u عند الاودية حسب الرتبة A المساحة الحوض Km^2 التكرار النهري $F_{\bf 5}$	$F_S = \frac{N_u}{A}$	التكرار النهري(الكثافة العددية).	12
$ m A$ مساحة الحوض $ m Km^2$. $ m L_u = - m deb$ الوادي حسب الرتبة $ m L_u$. $ m S_{ m S} = - m ast L$ بمعدل بقاء المجرى $ m Km$.	$S_S = \frac{A}{\sum L_u}$	معدل بقاء المجرى.	13

لأحواض منطقة الدراسة ذات صلة مباشرة باحتساب مقدار الجريان السطحي كما هو مبين بجدول2.

3.2 الخصائص الهيدرولوجية لأحواض التصريف: تم بهذه الدراسة احتساب بعض المعاملات الهيدرولوجية

جدول2 المعادلات الرياضية لحساب الخصائص الهيدرولوجية لأحواض التصريف [10,11,4,3].

تعريف الرموز	صيغة المعادلة	المعامل	رقم معادلة
A= مساحة الحوض km². TC= زمن التركيز hr. L= طول مجرى الحوض km. H= الفرق بين متوسط و اقل منسوب بالحوض m.	$T_{C} = \frac{4A^{0.5} + 1.5L}{0.8H^{0.5}}$	زمن التركيز.	14
TL= ز من التباطؤ hr. TC= ز من التركيز hr.	$T_L = 0.6T_c$	زمن التباطؤ.	15
TC= زمن التركيز hr. Tr = مدة فائض المطر Tr	$T_r = 0.133T_c$	مدة فائض المطر	16
TP=زمن الذروة hr. Tr = مدة فائض المطر hr Tt= زمن التباطؤ hr.	$T_{P} = \frac{T_{r}}{2} + T_{L}$	زمن الذروة.	17
A= مساحة الحوض km². R=كمية الجريان السطحي مليار m³ L= طول مجرى الحوض km. S= متوسط انحدار المجرى km/m. I= كمية الأمطار السنوية مليار m³. C=معامل الجريان السطحي=1.0 للمناطق الجافة و الشبة جافة. W=عرض الحوضM. R=مجموع الأمطار الشهري بالسنة mm.	$R = (CIS)^{0.5} \left(\frac{W}{L}\right)^{0.45}$ $I = \left(\frac{RF}{1000}\right) \times \frac{(A*10000000)}{10000000000}$	الجريان السطحي (معادلة بركلي).	18
PP= اقصىي تدفق m³/sec. A= مساحة الحوض km². TP=زمن الذروة hr. R= الجريان السطحي mm.	$QR_p = \frac{0.208AR}{T_p}$	اقصى تدفق للجريان السطحي.	19
TC= زمن التركيز hr. L= طول مجرى الحوض km. V=سرعة الجريان السطحي m/sec .	$V = \frac{L}{3.6T_c}$	سرعة الجريان السطحي.	20



4.2 التحليل المورفومتري الرقمي لأحواض التصريف المائية باستخدام برنامج ArcGIS 10.5:

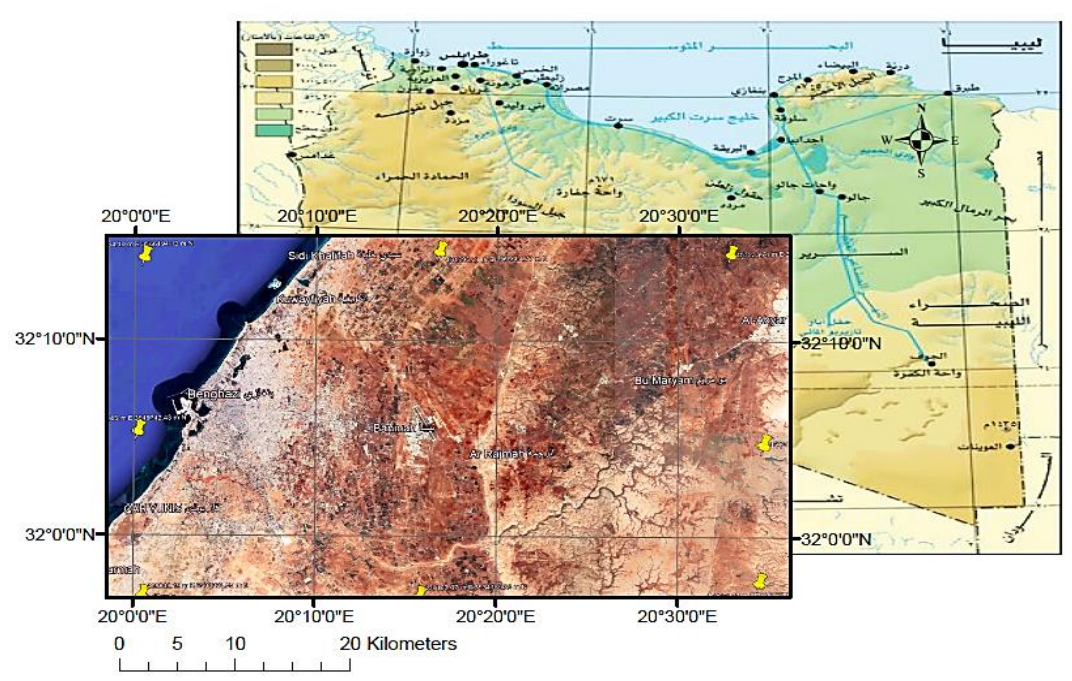
التحليل المورفومتري في برنامج ArcGIS10.5 يتم عن طريق صندوق الادواتArc Toolbox بعدد من الادوات مثل[15]:

- اداة[Fil]: لمليء الانخفاضات الغير متوقعة في بيانات ملف الارتفاعات الرقمية ناتجة عن عيوب فيه.
- اتجاه الجريانFlow Direction : تقوم هذه الأداة بتحديد الاتجاه الذي ستجري من خلاله المياه من الخلية إلى الخلايا المجاورة لها.
- تجميع الجريانFlow Accumulation: تقوم الاداة عند كل خلية بحساب عدد الخلايا التي ستصب المياه فيها فيمكن تحديد شكل المجاري الرئيسي لمنطقة الدراسة. زيادة التحسس: تهدف هذه الخطوة لزيادة التحسس عند استخراج مسارات الأودية من ملف تجميع الجريان، وذلك باستخدام الاداة Con.
- تحويل ملف الاودية من الصورة الشبكية raster إلى الصورة الخطية vector واستخدام الاداة stream to الصورة الخطيف الدوات التحليل الهيدرولوجي للحصول على طبقة خطوط polylines تحدد مجاري أودية منطقة الدراسة.
- استخدام اداة Stream Orders لتحديد رتب المجاري المائية في منطقة الدراسة.

- تحويل ملف رتب المجاري من الصورة الشبكية raster إلى الصورة الخطية
- استخدام اداة watershed لاستنباط الحوض المائي الذي يؤثر على الموقع المطلوب دراسته, و لمعرفة عدد واطوال المجاري المائية من كل رتبة على حدى داخل هذا الحوض
- يتم استدعاء قاعدة البيانات الغير مكانية Attribute Table

موقع الدراسة و البيانات المستخدمة: 1.3 موقع منطقة الدراسة:

تعتبر مدينة بنغازي ثاني أكبر مدينة في دولة ليبيا و تطل على ساحل البحر المتوسط بمساحة تصل إلى314km², وهي ذات تخطيط شعاعي مركزه بحيرة بنغازي في وسط المدينة؛ وهي تنقسم إلى احياء عدة تتوزع في حدود الطريق الدائري الخامس حيث تحد الطرق الشعاعية هذه الأحياء، بينما تخترق الطرق الدائرية بعض منها خاصة الكبيرة؛ يتميز طقس مدينة بنغازي بانه يتبع مناخ البحر المتوسط شمالا، وإلى الجنوب شبه صحراوي, فالصيف في المدينة حار نسبيا مع ارتفاع نسبة الرطوبة, والشتاء معتدل مع هطول كمية من الأمطار؛ التركيب الجيولوجي للأرض بمدينة بنغازي يتكون من رواسب الزمن الرابع وتنقسم إلى قسمين رئيسين هما الرواسب الساحلية والرواسب الفيضية,



شكل2 موقع الدراسة (صورة من برنامج Google earth لمدينة بنغازي و ضواحيها لعام 2021).

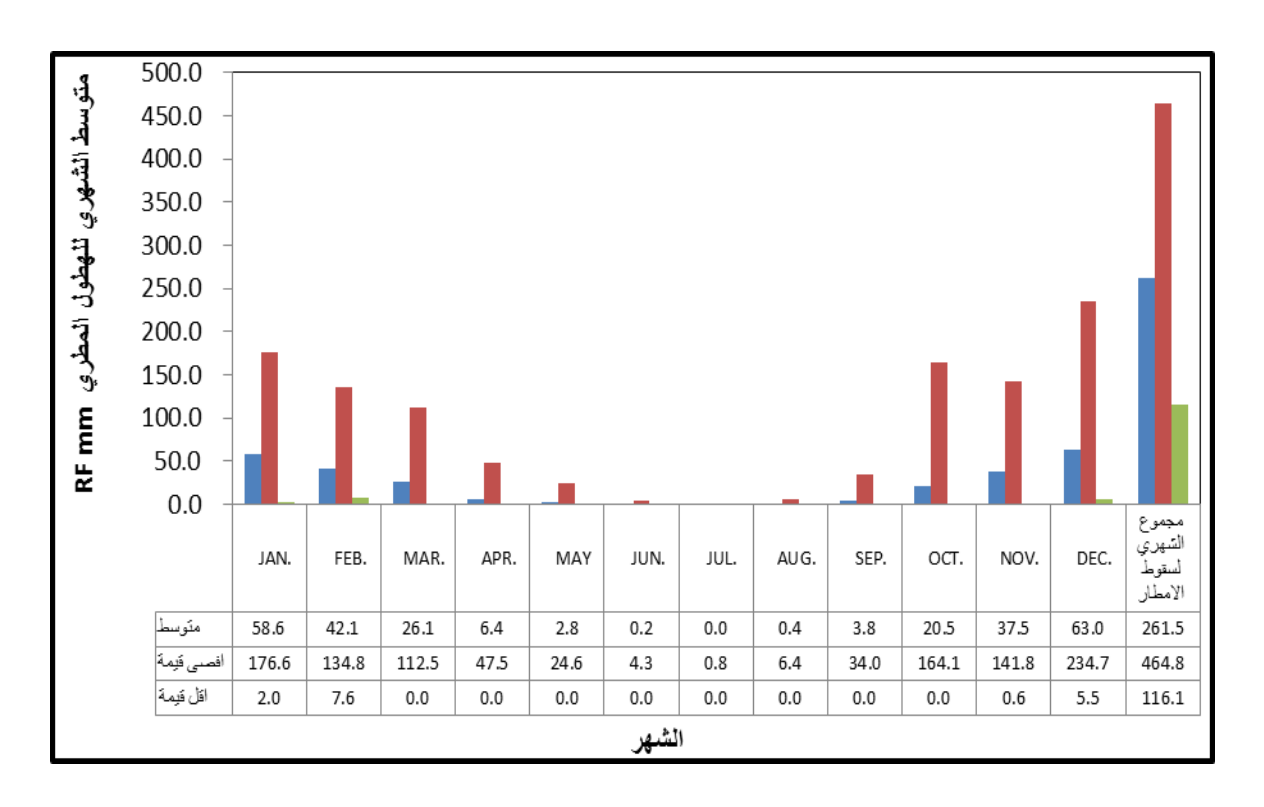


2.3 البيانات المستخدمة بالدراسة:

في هذا البحث تم استخدام مرئية راداريه لنموذج ارتفاعات رقمي لمدينة بنغازي من خلال موقع هيئة المساحة الجيولوجية الأمريكية USGS و التي التقطت بوساطة المركبة الفضائية ASTER [18] وصورة فضائية لنفس الموقع من برنامج Google earth لمتعانة ببرنامج ArcGIS10.5 لمعالجة المرئية للحصول على نموذج ارتفاعات رقمي يختص بمساحة المنطقة قيد الدراسة تتبع نظام الاحداثيات UTM والارجاع الجغرافي الوطني Datum2006, Zone 34N والمتعانة بالبيانات المناخية من الفترة 1977 إلى 2020 المتوفرة بهيئة الأرصاد الليبية الخاصة بمحطة بنينا الواقعة عند دائرة عرض 32.05 و خط طول 21.16 بمنسوب عن سطح البحر 1971 عرض ملخص المحصائص الاحصائية للبيانات المناخية لمنطقة الدراسة لنفس الفترة بجدول 3, و بالشكل عرض الهطول المطري الشهري بالسنة للفترة من 1977 إلى 2020 لتبيان كميات و حجم المياه المجمعة و التي تصرف سنويا بالأحواض في مدينة بنغازي ذلك للوقوع على الفترات المطيرة و قيم الأمطار العليا و الدنيا بالسنة.

جدول 3 الخصائص الاحصائية للبيانات المناخية وفق ارصاد محطة بنينا للفترة من 1977-2020 [19].

	- • • • • • • • • • • • • • • • • • • •			•
متوسط درجات الحرارة الصغرى ℃	متوسط درجات الحرارة العظمي ℃	المجموع الشهري لتساقطات للأمطار RF	متوسط الرطوبة النسبية %	الخصائص الاحصائية
16.625	26.600	414.970	70.500	اقصىي قيمة
14.392	24.092	116.050	52.708	اقل قيمة
15.379	25.185	227.272	63.514	المتوسط



شكل3 المجموع الشهري لسقوط الأمطار بالسنة للفترة من 1977 إلى 2020 (محطة بنينا- بنغازي) [19].

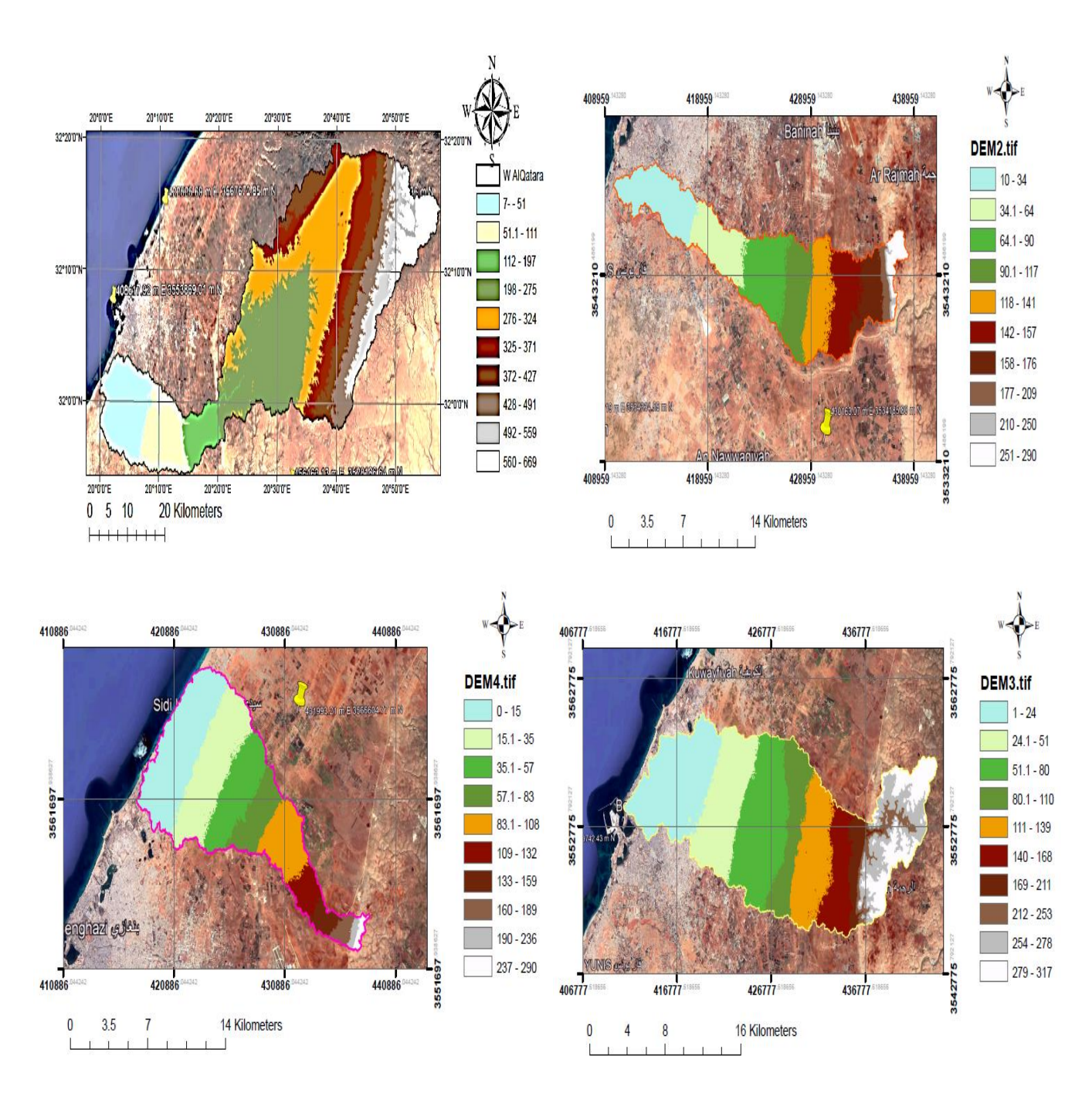


استنباط رتب المجاري المائية) على التوالي بواسطة برنامج. ArcGIS 10.5

بهذه المرحلة تم تحديد نقطة المصب لتحديد الحوض المائي المصرف عند هذا الموقع بالتحديد عند شاطئ البحر كما هو مبين بالشكل4 الذي عرض به الأحواض المائية الخمس المستنبطة بعد الانتهاء من التحليل الهيدرولوجي بواسطة برنامج ArcGIS10.5 في مدينة بنغازي وضواحيها

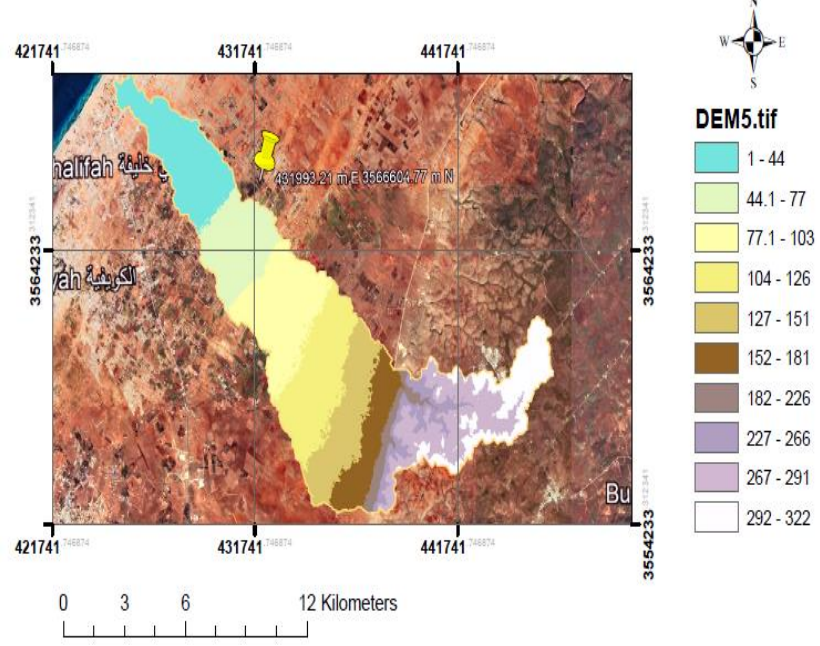
التحليل المورفومتري لأحواض التصريف المائي بمدينة بنغازي

تمت عملية التحليل الرقمي المورفومتري لمنطقة الدراسة بمعالجة الصور و المرئيات الفضائية لنموذج الارتفاعات الرقمي لمنطقة الدراسة و ارجاعها جغرافيا من ثم استخدامها في عمليات التحليل الهيدرولوجي (تحديد اتجاه الجريان, تجميع الجريان, زيادة التحسس و تحديد الاودية,

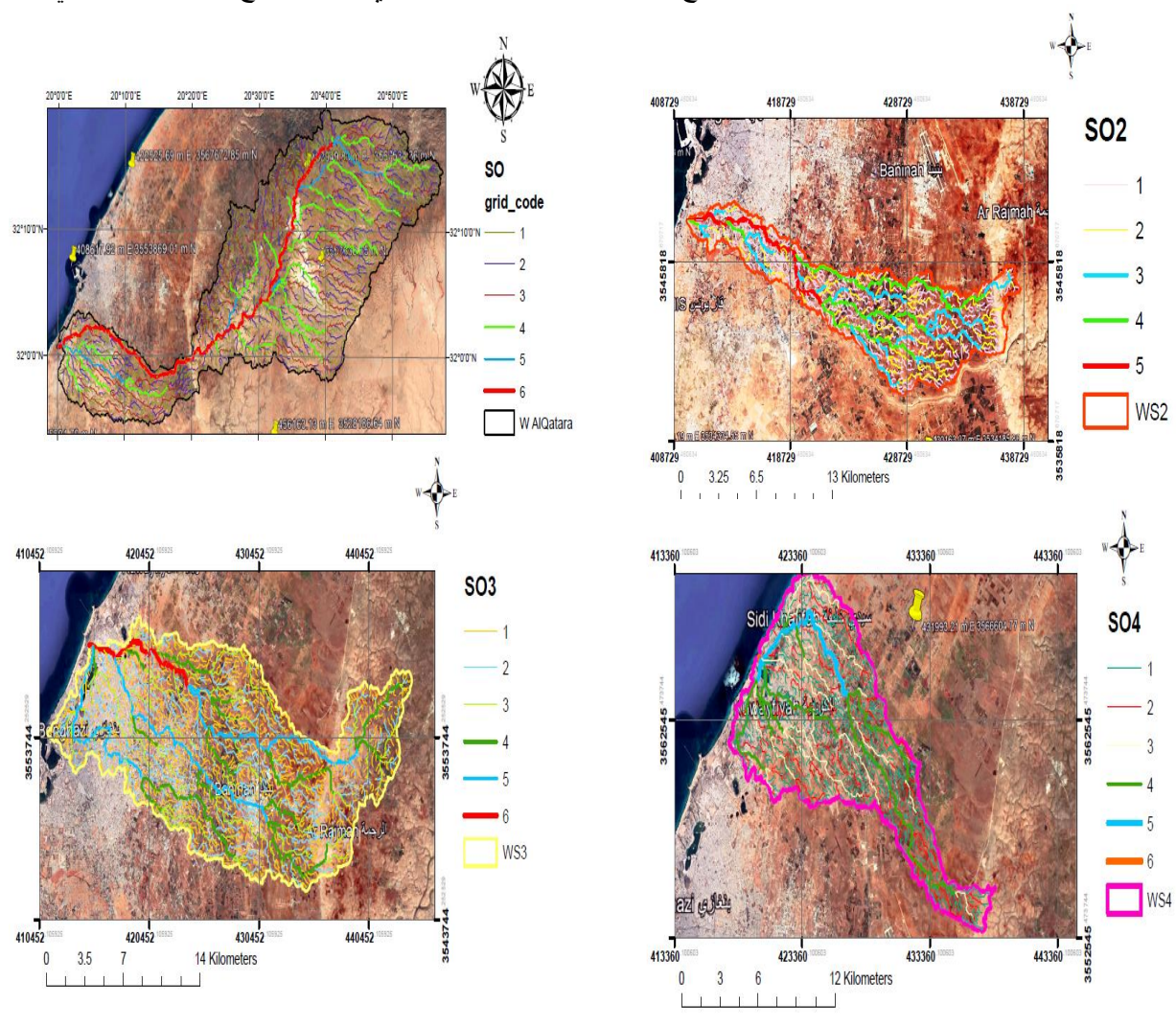


مجلة البحوث الهندسية والعلوم التطبيقية العدد العاشر – سبتمبر 2022 (هون – ليبيا)



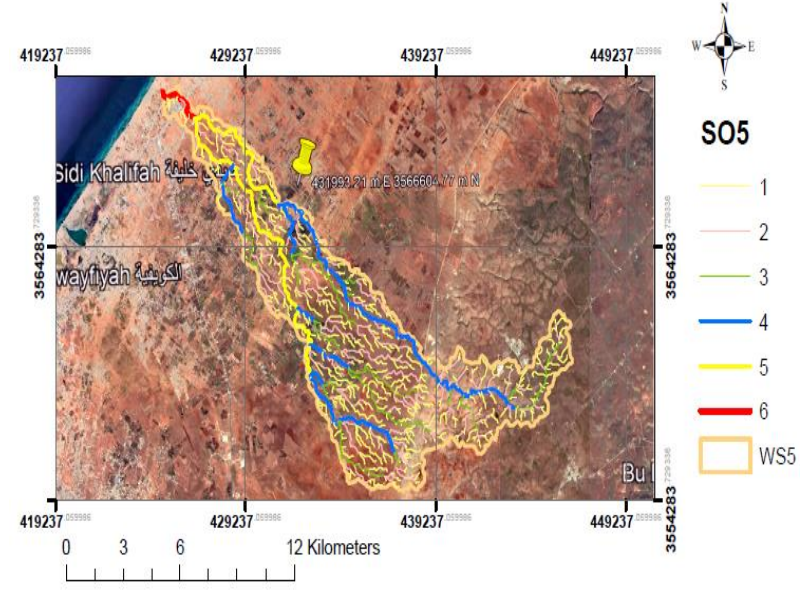


شكل 5 مناسيب الأرض الطبيعية من مستوى سطح البحر لكل حوض بمدينة بنغازي حسب نموذج الارتفاعات الرقمي.

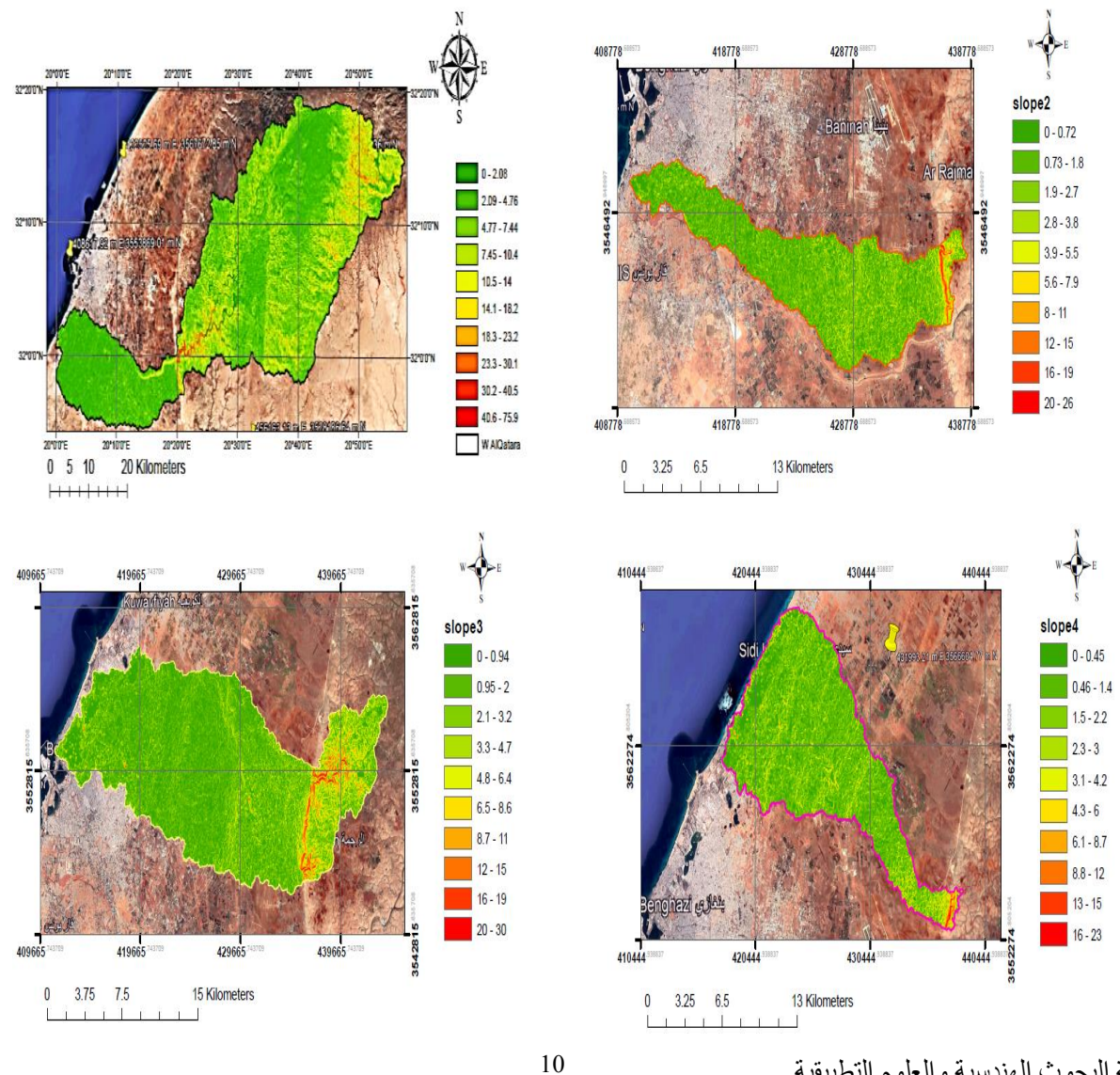


مجلة البحوث الهندسية والعلوم التطبيقية العدد العاشر –سبتمبر 2022 (هون – ليبيا)



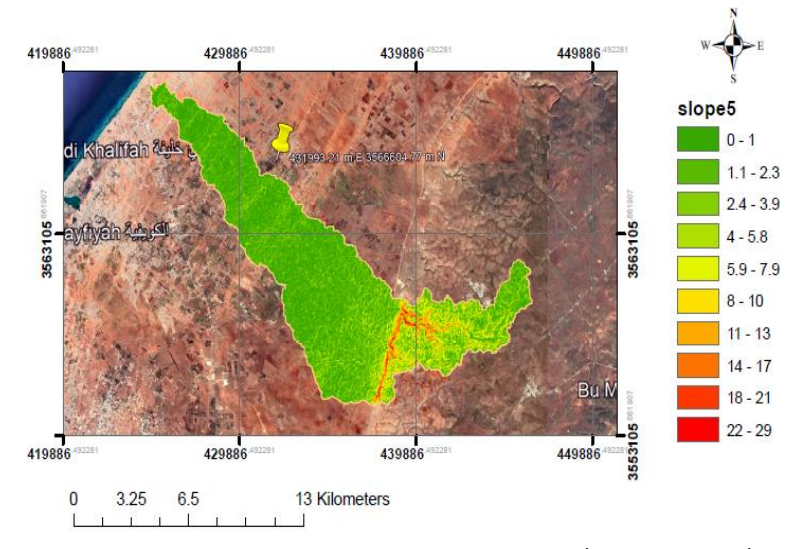


شكل 6 الأودية بأحواض التصريف بمدينة بنغازي وفق نتائج التحليل الهيدرولوجي من برنامج Arc GIS10.5



مجلة البحوث الهندسية والعلوم التطبيقية العدد العاشر – سبتمبر 2022 (هون – ليبيا)





شكل7 انحدار الأرض الطبيعية بأحواض التصريف بمدينة بنغازي وفق نتائج برنامج Arc GIS 10.5.

بالاعتماد على نتائج برنامج ArcGIS10.5, تم استنباط الخصائص المساحية لأحواض التصريف في مدينة بنغازي من حيث المساحة و المحيط والعرض و الطول للمجرى الرئيسي بالإضافة إلى مناسيب الأرض الطبيعية التي تم استنباطها من نموذج الارتفاعات الرقمي و

بتطبيق المعادلات الخاصة بالتحليل المورفومتري و الهيدرولوجي التي تم تعريفها مسبقا بجدول 10° , تم حساب الخصائص الشكلية و التضاريسية والتصريفية و الهيدرولوجية للأودية والمجاري بأحواض مدينة بنغازي كل النتائج عرضت بجدول 4 و 5.

جدول4 الخصائص المساحية و طبوغرافية و الشكلية و التصريفية لأحواض مدينة بنغازي

الوحدات	حوض5	حوض4	حوض3	حوض2	1حوض	المعامل
km ²	91.27	115.02	264.62	103.16	1648.99	A مساحة الحوض.
Km	77.32	73.07	112.63	85.83	342.73	P محيط الحوض.
Km	18.64	25.33	18.64	19.17	134.88	L طول المجرى الرئيسي.
Km	6.23	10.26	6.23	5.85	40.56	W عرض الحوض.
M	144.00	48.70	108.00	102.00	301.00	Havr. متوسط منسوب للأرض الطبيعية.
M	322.00	290.00	317.00	290.00	669.00	.H _{max} اعلى منسوب للأرض الطبيعية.
M	1.00	0.00	1.00	10.00	7.00-	.H _{min} اقل منسوب للأرض الطبيعية.
km ⁻¹	0.20	0.22	0.07	0.19	0.08	معامل التفلطح. $oldsymbol{B_f}$
Km	0.26	0.18	0.76	0.28	0.09	معامل شكل الحوض. $oldsymbol{S_f}$
-	2.28	1.92	1.95	2.38	2.38	نسبة تماسك المحيط. $oldsymbol{R_f}$
-	0.58	0.48	0.99	0.60	0.34	نسبة الاستطالة. R_e
-	0.19	0.27	0.26	0.18	0.18	نسبة الاستدارة. $oldsymbol{R_C}$
m/km	1.98	1.76	1.87	1.10	1.29	يمة الوعورة $R_{m{r}}$
km/وادي	13.32	17.82	28.34	14.39	28.10	. نسبة التقطع $_{B}$
1/km ²	17.22	11.45	16.95	14.61	5.01	نسبة التضرس. $oldsymbol{R_n}$
-	من1إلى 6	من 1 إلى 5	من 1 إلى 6	من1إلى 5	من1إلى 6	u الرتب النهرية.
وداي	1030.0	1302.0	3192.0	1235.0	9629.00	Nu∑إجمالي العدد الكلي للأودية بجميع الرتب.
m	563038.59	696425.18	1567634.64	406667.31	3148531.40	جمالي مجموع أطوال كل الاودية بجميع الرتب. $\sum L_u$
m	388.36	327.36	328.03	340.64	327.50	متوسط أطوال الأودية بكل الرتب. L_{sm}
-	2.71	2.02	2.47	1.90	2.04	نسبة التشعب. $oldsymbol{R_S}$
1/ Km	6.17	6.05	5.92	3.94	1.91	$oldsymbol{D}$ كثافة الصرف.
Km²∕وادي	11.28	11.32	12.06	11.97	5.84	كثافة الصرف العددية. $oldsymbol{F_S}$
Km	0.16	0.17	0.17	0.25	0.52	معامل بقاء المجرى.



جدول 5 الخصائص الهيدرولوجية لأحواض مدينة بنغازي.

الوحدات	حوض5	حوض4	حوض3	حوض2	حوض1	المعامل
m³مليار	0.04	0.05	0.12	0.05	0.77	اقصىي هطول للمطر . _{max}
${ m m}^3$ مليار	0.02	0.03	0.07	0.03	0.43	$_{ m average}$ منوسط هطول للمطر
مليار m ³	0.01	0.01	0.03	0.01	0.19	$_{ m min}$. اقل هطول للمطر
m^3 مليار	0.20	0.20	0.34	0.19	0.44	اقصىي جريان سطحي R _{max}
m³مليار	0.15	0.15	0.26	0.14	0.33	R average. متوسط جريان السطحي
مليار m ³	0.10	0.10	0.17	0.09	0.22	اقل جريان سطحي .R _{min}
m ³ /sec	0.93	1.11	3.51	0.97	9.57	اقصى تدفق للجريان السطحي QR _{max}
m ³ /sec	0.70	0.83	2.63	0.73	7.18	متوسط تدفق للجريان السطحي QR average
m ³ /sec	0.46	0.56	1.75	0.48	4.78	اقل تدفق للجريان السطحي QR _{min}
hr	6.20	6.51	8.04	6.32	23.77	زمن التركيز Tc
hr	3.72	3.91	4.83	3.79	14.26	زمن التباطؤ TL
hr	0.82	0.87	1.07	0.84	3.16	الفترة الزمنية لفائض المطر Tr
hr	4.13	4.34	5.36	4.22	15.84	زمن الذروةTp
m/sec	0.84	1.08	0.64	0.84	1.58	سرعة الجريان السطحيv

5. مناقشة النتائج

يتضح من خلال هذه الدراسة بعد إجراء التحليل المورفومتري و الهيدرولوجي لأحواض و أودية مدينة بنغازي التالي:

- 1. وجود خمس أحواض للتصريف تنتقل المياه بها من مرتفعات الرجمة و الجبل الأخضر بمنسوب للأرض الطبيعية 669m إلى السّهول أو المُنحدرات الأكثر انخفاضاً, فيتم تصريف المياه الجارية على سطح الأرض إلى البحر المتوسط مارة بجريانها بمدينة بنغازي و ضواحيها (شكل4).
- حوض رقم 1 (حوض وادي القطارة) بمعدل انحدار سطح الأرض الطبيعية خفيف فيما عدا وسط وادى القطارة يكون شديد الانحدار بمقدار 37 بالتحديد المنطقة الواقعة بين سدي وادي القطارة الرئيسي و الثانوي وهو المسؤول عن تجمع المياه سنويا خلف السد_. و حوض2 و 4 انحدار سطح الأرض الطبيعية بهما خفيف من0 إلى 5.5 ماعدا المنطقة من الحد الفاصل بين مدينة بنغازي و مرتفعات الرجمة نجد إنها ذات انحدار شديد يصل إلى 26 فهي المسؤولة عن جريان المياه بشكل مباشرة وبسرعة إلى المنطقة المنبسطة و الأحواض 3 و 5 ذات انحدار متوسط من 0 إلى 7 درجة لكن المصب لكلاليهما بانحدار شديد يصل إلى 30 وهو الجزء الموجود بمنحدرات الرجمة مجمعا المياه من المرتفعات لتتحرك مباشرة نحو المصب (الشكل5)؛ انحدار سطح الأرض الطبيعية مسؤولا عن مدى سرعة الجريان السطحى للمياه فالانحدار الشديد يؤدي إلى فيضانات على نطاق واسع و في وقت وجيز [3], وهو ما يحث بالأحواض 3 و 5
- أكبر الأحواض بالمساحة هو حوض وادي 1648.99km² بطول للمجرى القطارة بمساحة الرئيسي 134.88km ومنبعه مرتفعات الرجمة بمناطق الأبيار و بومريم أما مصبه يؤثر على منطقة قاريونس و القوارشة و أجزاء من منطقة النواقية. تاليه بالمساحة هو الحوض رقم 3(حوض بنينا) بمساحة 264.62km² و بطول للمجرى الرئيسي ومنبعه منحدرات مرتفعات الرجمة مؤثرا على منطقة بنينا ويمتد حتى المصب المؤثر تقريبا على منتصف مدينة بنغازي شمالا و جنوبا وغربا, اما الأحواض رقم 4 و2 و5 هي الأقل بالمساحة على التوالي. و الأحواض رقم 4 و5 تؤثر على الضواحي بشمال شرق مدينة بنغازي بمناطق سيدي خليفة و الكويفية بالمصب اما حوض رقم 2 يؤثر على المناطق المتاخمة لحوض وادى القطارة اما المصب يؤثر على المدخل الغربي لمدينة بنغازي.
- للتضاريس بمنطقة الدراسة دور مهم في عملية تكون الأمطار و احتمال هطولها، إذ إن اصطدام الهواء الرطب بمرتفعات الجبل الأخضر و الرجمة يؤدي إلى رفعها مما يُخفض من حرارتها، ومع رطوبة الهواء يؤدي إلى التكاثف ومن ثم هطول الأمطار, وتخضع أمطار مدينة بنغازي لنظام مناخ البحر المتوسط، من حيث موسم سقوطها الذي يبدأ من شهر اكتوبر حتى شهر مارس بمتوسط مجموع شهري بالسنة ما اقل مجموع شهري بالسنة الما اقل مجموع شهري مواقع الما اقل مجموع شهري بالمناخية للفترة من 116.05mm إلى 2020 بمحطة البيانات المناخية للفترة من 1977 إلى 2020 بمحطة بنينا للأرصاد الجوية؛ الأمطار الهاطلة على مدينة بنغازي تتذبذب زمانياً ومكانياً على شكل زخات سريعة



وفجائية يؤدي إلى تكوين سيول على نطلق واسع؛ درجة الحرارة تتباين معدلتها السنوية ففي فصل الصيف يصل متوسط درجات الحرارة العظمى إلى $26.6~\rm{C}^0$ اما فصل الشتاء يصل متوسط درجات الحرارة الصغرى إلى $16.62\rm{C}^0$ وهذا يعني وجود مدى حراري سنوي جعل بدوره المناخ شبه جاف متزامنا مع معدل هطول المطر السنوي ايضا.

معامل الشكل للأحواض 1و2و4و5 يقترب من الصفر مما يدل ان تلك الأحواض ذات شكل يقترب من المثلث وهذا لا ينطبق على الحوض رقم3 فمعامل الشكل به يقترب من 1 مما دل على كونه يقترب من الشكل المستطيل, فعندما يكون جريان المياه من قاعدة المثلث باتجاه الراس تقل خطورة الفيضان وهو ما تمثله الأحواض 1و2و5، اما عندما يكون المصب قاعدة المثلث يبلغ التصريف ذروته بعد سقوط الأمطار مباشرة وهو ما تمثل بالحوض رقم4 مما مؤدي إلى ارتفاع منسوب الماء بشكل سريع به؛ بالإضافة إلى ان معاملي الاستدارة و الاستطالة منخفض و اقل من 1 مما يدل ان الأحواض تبتعد عن الشكل الدائري, و معامل التفلطح للأحواض جميعا منخفض ويدل على أن الأحواض لم تصل لمرحلة النضج بالإضافة إلى مقدار نسيج للأحواض جميعًا ما بين وادي/8km إلى وادي/200km وهذا يعد نسيجاً ناعما او متوسطا والسبب يعود إلى أن معظم سطح الأحواض هي تربة وصخور منفذة ولكن قلة التساقط للأمطار يؤدي إلى قلة عمليات التعرية فيها. وهو ما دل عليه ايضا مقدار الوعورة فهو من 1.1m/km إلى 1.98 m/km (الجدول4).

أعداد الاودية بجميع رتب من 1 إلى 6 بلغت 9626 وادي بمجموع أطوال كل القنوات بجميع الرتب بحوض وادي القطارة3148.531Km, يليه حوض بنينا من حيث اعداد الاودية من الرتبة 1 إلى 6 بلغت 3192 وادي بمجموع أطوال كل القنوات بجميع الرتب1567.6Km ومن ثم الأحواض 4 و2 و5 على الترتيب؛ متوسط نسبة التشعب عادة تتراوح قيمتها (2-5) و هي انعكاس لطبيعة الحوض من حيث المناخ و التضاريس و التركيب الجيولوجي. اذ كانت قيم معامل نسبة التشعب تقع ما بين 2 إلى 5 فهذا يدل على تشابه خواص الحوض مناخيا و بنيويا [9]. و هو ما يتطابق مع كل الأحواض, لكن الأحواض 2و 3و 5 نسبة التشعب بها قليلة مما يشير على احتمال حدوث سيول تضر بالمدينة لان هذه الأحواض تغطى جزءا كبيرا منها (جدول4), ذلك بسبب ان العلاقة بين نسبة التشعب وخطر الفيضان عكسية و المياه تتجمع في مجاري قليلة ومحدودة فتعطى جرياناً سطحياً سريعاً مما قد يسمح بحدوث خطر الفيضان[5].

- أعلى كثافة للتصريف رصدت بالأحواض 3و 4و 5 بمقدار 5.92 و 6.05 و 6.17 على النوالي مما يدل على مدى ما تحتفظ به مساحة km^2 امن أطوال الأودية داخل الحوض من المياه و يدل على ارتفاع كثافة التصريف و انخفاض نفاذية الصخور لان الأحواض تغطى الجزء الاكبر الحضري من مدينة بنغازي بالأخص الحوض3 (بنينا) نتيجة انشاء اسطح غير منفذة كالمباني و الساحات و الطرق؛ الأحواض 1 و2 فهي الاقل كثافة بالتصريف وهو يرجع إلى زيادة صلابة التكوينات الصخرية بالمنطقة ونفاذيتها. فنوع الصخر من العوامل التي تتحكم بكثافة التصريف فالصخور الصلبة تنخفض فيها كثافة التصريف والعكس صحيح, وتتوقف كثافة التصريف على كميات الأمطار الساقطة على أحواض منطقة الدراسة، و معدلات التبخر،و كثافة الغطاء النباتي ودرجة الانحدار [8,10].
- زمن التركيز يعبر عن الوقت المستغرق للمياه للوصول إلى المصب، كما يستخدم لتصنيف خطورة الجريان اذ كلما كان زمن التركيز مرتفعا كان الجريان اكبر، وهو ما انطبق على حوض وادي القطارة بزمن تركيز 23.77 ساعة, اما الأحواض الأخرى يتراوح زمن التركيز بها من5 إلى 8 ساعات (جدول5), ونلاحظ ان حوض وادي القطارة لديه احتمالية منخفضة لحدوث فيضان ذلك بسبب طول مجراه الرئيسي وطبيعة تركيبه الجيولوجية و تربته المنفذة وإلى مناخ الجاف و الشبة الجاف التابع له الحوض, ويدل زمن التركيز الاقصر بالأحواض 2و3و4و5 على كونها عرضه لحدوث سيول و فيضانات مما يدل على ان منطقة (بنينا وشمال بنغازي و وسطها و مدخلها الغربي) الأكثر عرضه لأخطار السيول, وهو ما ينطبق على زمن الذروة مما يدعم كون ان الأحواض 2و 3و 4و 5 هي الأكثر تعرض لأخطار السيول و الفيضانات؛ يتأثر زمن التركيز بعامل التضاريس ويفيد حسابه في إنشاء محطات الإنذار المبكر باحتمال حدوث فيضان وله دلاله على حدوثه لان المياه الجارية على سطح التربة تستغرق وقتا قصيرا للوصول إلى مصب[20].
- اعلى جريان سنوي المتوقع للأحواض الخمس قيد الدراسة بمدينة بنغازي, بلغ مليار 0.44m³ لحوض القطارة لكونه الأكبر بالمساحة و العرض و الاطول بالمجرى الرئيسي, اما ثاني اعلى جريان سطحي تم حسابه بمقدار مليار 0.34m³ للحوض رقم 3, ثم تبعا الأحواض 2و 4و 5(جدول 5)؛ هذه الكمية من الجريان السطحي تمثل قيمة هيدرولوجية, علما انها تذهب هادراً دون الاستفادة منها, فجزء منها يتسرب داخل التربة مغذيا المياه الجوفية و جزء الأكبر يتبخر او



6. الخلاصة والاستنتاجات

أظهر حساب وتحليل المتغيرات المورفومترية من معالجة بيانات نموذج الارتفاعات الرقمي لمدينة بنغازي باستخدام تطبيقات التحليل الهيدرولوجي ببرنامج ArcGIS10.5، إمكانية تحديد و اشتقاق قيم المتغيرات التضاريسية و الخصائص الشكلية والمساحية و التصريفية و الهيدرولوجية لأحواض التصريف بالمدينة.

حيث استنتج من الدراسة, رصد خمس أحواض تصریف تغطی کامل مدینة بنغازی لها نفس مصدر المنبع وهو مرتفعات الرجمة و الجبل الاخضر ويتم تصريف المياه الجارية على سطح الأرض إلى البحر المتوسط بانحدار سطح الأرض الطبيعية للأحواض خفيف إلى متوسط فيما عدا الحد الفاصل بين المرتفعات الجبل الاخضر وسهل بنغازى لها انحدار شديد مما يجعل المدينة عرضة للجريان المياه بشكل مباشر مما يؤدي إلى سيول على نطاق واسع و في وقت وجيز؛ الأحواض جميعها لم تصل لمرحلة النضج و ذات نسيجاً ناعما او متوسطا و ينوه زمن التركيز القصير الذي قد يصل من5 إلى 8 ساعات بالأحواض (2و 3و 4و 5) إلى احتمال حدوث سيول بالإضافة إلى كثافة التصريف العالية نتيجة تأثير النشاط البشري؛ عدم قدرة تلك الأحواض على تصريف المياه بها يؤدي إلى ارتفاع $0.65~{
m m}^3$ الجريان السطحى و هي تستقبل ما يعادل مليار بمجموع تدفق 4.45 m³/sec بسرعة منخفضة تصل الى 0.8 m/sec.

كميات الجريان السطحي تمثل قيمة هيدر ولوجية للمدينة و وضواحيها موسميا وهي تهدر دون الاستفادة منها, فمجرد هطول الأمطار تعاني المدينة من تكدس المياه بالبرك لضعف البنية التحتية ناهيك عن تأثر المناطق الحيوية بالمدنية كمطار بنينا الواقع بثاني اكبر الأحواض من جراء السيول و الأمطار، و شبكة الطرق الرئيسية و مداخل المدينة الغربي و الشرقي و الجنوبي.

أكبر الأحواض هو حوض وادي القطارة بمساحة 134.88km بطول للمجرى الرئيسي 1648.99 km² بشكل يقترب من المثلث وتتكون الشبكة المائية به من اودية برتب تصل إلى 6 بنسبة تشعب عالية مما يدل على اختلاف تركيبه الجيولوجي و التضاريسي و النشاط التكتوني به بالإضافة إلى انخفاض كثافته التصريفية لزيادة صلابة تكويناته الصخرية بالمرتفعات وطبيعة المناخ الجاف و الشبة جاف بالمصب

متوسط الجريان السطحي للمياه سنويا بحوض واي $m m^3/sec$ القطارة يبلغ مليار $m 0.33~m^3$ بما يعادل تدفق m 7.18 تصرف مباشرة إلى البحر ويتبخر و يترشح جزء الاعظم منها؛ اما ثاني اكبر الأحواض بالمساحة هو الحوض رقم m 8(-eec) بمساحة $m 264.62km^2$

11. يسلك مسلكا غير الأودية لتجريف التربة فمجرد هطول الأمطار تعاني المدينة ككل من الاختناقات المرورية نتيجة تكدس المياه بالبرك ذلك لضعف البنية التحتية بالمدينة و عدم قدرتها على مواجه تصريف مياه الأمطار ناهيك عن تأثر مطار بنينا الواقع بحوض رقم 3 من جراء السيول و الأمطار بالإضافة إلى الطرق الرئيسية و مدخلي المدينة الغربي و الشمالي الشرقي.

بحوض وادي القطارة تتدفق .11 بمقدار 9.75m³/sec, و تاليه الحوض3(حوض بنينا) احتمال أمطار بالسنة بمجموع شهري بمقدار 414.7mm, وهو ما ينطبق ايضا على متوسط التدفق بمقدار 7.18m³/sec و 2.31m³/sec على التوالي في حال هطول امطار بمجموع شهري بالسنة 261.5mm؛ التدفق بالأحواض 2و 4و 5 المياه بمتوسط 0.6m³/sec إلى 0.7m³/sec سنويا؛ من هنا توجب اعادة النظر بتصميم شبكة تصريف مياه الأمطار بالمدينة و العبارات و شبكة الطرق الخلوية حتى تلائم هذه الكميات المطيرة سواء القصوى منها او التي تتكرر سنويا لضمان تصريفها.

الخمس, رصدت بحوض وادي القطارة بمقدار m/sec الخمس, رصدت بحوض وادي القطارة بمقدار 58 مع/m الخمس, رصدت بحوض وادي القطارة الذي يكون به المرتفعات حتى تجري بوادي القطارة الذي يكون به انحدار الأرض عالي جدا و التخفيف من وطئه سرعة الجريان السطحي للوادي تم انشاء سدي واي القطارة؛ لكن بالنسبة للأحواض الأخرى فان سرعة الجريان من لكن بالنسبة للأحواض الأخرى فان سرعة الجريان من تجري بالأحواض التي يقع الجزء الاكبر منها بالأراضي المنبسطة قليلة او خفيفة الانحدار بسهل بنغازي

1. أن ما يزيد مشكلة السيول بالمناطق الحضرية و المدن, ان تكون أحياؤها بنيت بطريقة عشوائية، إذ من الممكن أن تعترض المباني اودية تصريف المياه, كما قد يكون نظام صرف مياه الأمطار في بعض المناطق يتأقى فوق طاقته للصرف، ففي حال تساقط الأمطار فإن المياه سوف تجد طريقاً للتجريان ة التصريف ممّا يُؤدّي إلى حدوث فيضان في مناطق لا يمكن توقعها؛ يُؤدّي إلى حدوث فيضان أضراراً جسيمةً من خلال قطع قد تسبب مياه الفيضان أضراراً جسيمةً من خلال قطع الطرق و تُعطّل شبكات الصرف في المدن، وقد يُؤدّي ذلك إلى أضرار صحيّة بسبب انتشار المياه المُلوّثة، و تتفشّى الأمراضُ وايضا الضرر النتائج من تعطل حركة الجو بمطار بنينا.



وبطول للمجرى الرئيسي 18.64km مؤثرا على منطقة بنينا ويمتد حتى منتصف مدينة بنغازي شمالا و جنوبا بشكل يقترب من الشكل المستطيل, و الشبكة المائية بالحوض تتكون من الاودية تصل إلى الرتبة 6 بكثافة تصريفية عالية نتيجة انخفاض نسبة التشعب للأودية و لانخفاض نفاذية سطح التربة لان الحوض يغطي الجزء الكبر الحضري من مدينة بنغازي.

من واقع تلك النتائج يتوجب إعادة النظر بتصميم شبكة تصريف مياه الأمطار بالمدينة و العبارات بشبكة الطرق الخلوية حتى تلائم هذه الكميات المطيرة سواء القصوى منها أو التي تتكرر سنويا لضمان تصريفها وحماية المدينة من أثر سيول و تكدس مياه الأمطار بشبكة الطرق بالإضافة إلى التوصية بإنشاء سدود تعويقيه و عدم التهاون في تطبيق التشريعات التي تحد من عمليات التوسع الحضري على الغطاء النباتي الطبيعي بمحيط و ضواحي مدينة بنغازي, واخير التوصية باستخدام التكامل بين تقنيات الاستشعار عن بعد و نظم المعلومات الجغرافية كوسيلة لدراسة الأحواض و الاودية من خلال التوصل إلى معرفة خصائصها المورفمترية لوضع الخطط التنموية المستقبلية و للحد و التحكم من الفيضانات و دراسة أوجه الاستفادة من حصاد الأمطار ذلك بإنشاء قاعدة بيانات مورفومترية ومناخية وهيدرولوجية متاحة يمكن الاستفادة منها في الدراسات

7. المراجع:

- [1]. الرواشدة, شذا.، مصاروة, طالب، طاران, عايد., الخصائص المور فومترية والهيدرولوجية لحوض وادي الحسا باستخدام نظم المعلومات الجغرافية ونموذج الارتفاعات الرقمية, مجلة جامعة النجاح للأبحاث و العلوم الإنسانية, 31 (6), ص:996:996.
- [2] المشاط, هند عبدالرحمن, الشرقاوي, محمد محمود., أخطار السيول بحوض وادي الاديرع بمنطقة حائل دراسة تطبيقية باستخدام تقنيات نظم المعلومات الجغرافية والاستشعار عن بعد. الملتقى الوطني الحادي عشر للنظم المعلومات الجغرافية جامعة الامام عبد الرحمن بن فيصل المملكة العربية السعودية, 2017, -geography.blogspot.com
- [3] عمران, انتظار مهدي., عبدالرحمن, هالة محمد., هيدرولوجية الأحواض الشرقية لبحيرة دربندخان, مجلة العلوم الانسانية, كلية التربية للعلوم الانسانية, 2018, ص:11, 2018.
- [4] البحيثي, نواف بن حامد, تحليل المعطيات المور فومترية لأحواض التصريف بمدينة حفر الباطن شمال شرق المملكة العربية السعودية باستخدام نظم

- المعلومات الجغرافية(GIS), مجلة العلوم الطبيعية والحياتية والتطبيقية, 2018), ص:32:64
- [5] النشوان, عبدالرحمن بن عبدالعزيز. الخصائص الهدورفومترية لحوض شعيب تمرة في محافظة السليل, مجلة جامعة حضرموت للعلوم الإنسانية, 10(1), 2018.
- [6] العمري, عبد المحسن صالح, تحليل الخصائص المورفمترية و الهيدرولوجية لأحواض التصريف في منطقة كريتر عدن باستخدام معطيات نظم المعلومات الجغرافية GIS, ندوة عن بوابة اليمن الحضرية, هيئة المساحة الجيولوجية و الثروات المعدنية اليمن, ص:405:418
- [7] الأنصاري, عبد الله بن محمد الشيخ, التحليل المورفومتري المقارن لأحواض روافد وادي العتك بشمال غربي مدينة الرياض بالمملكة العربية السعودية, مجلة الدراسات الجامعية للبحوث الشاملة, 3013, ص:346:81, 2020.
- [8] الدعدي, ماجده عبد الله, التحليل الرقمي للخصائص المورفومترية والتضاريسية ومدلولاتها الجيمورفولوجية في حوض وادي رهجان بمدينة مكة المكرمة, المجلة العربية للدراسات الجغرافية, (10), ص:2021, 195:222.
- [9] الخفاجي, شذى سالم ابراهيم, و الموسوي, حسين عذاب خليف, دراسة بعض الخصائص الهيدرولوجية لحوض وادي شوشيرين وتقدير حجم الناتج الرسوبي, مجلة لارك للفلسفة و الانسانيات و العلوم الاجتماعية, 2(41), ص:1343 : 1327, 2021.
- [10] النيش, فواز حميد حمو. الجبوري, سندس جمعة حسين. التحليل الهيدرولوجي لحوض وادي بادوش باستخدام نظم المعلومات الجغرافية, مجلة الآداب, 2021, 390:420.
- [11] عبد الحميد, عصام محمد. ابراهيم, خليل ابراهيم. عبدالغني, عماد طلفاح. التحليل المورفمتري لوادي حوران باستخدام الاستشعار عن بعد و نظم المعلومات الجغرافية, مجلة الانبار للعلوم الزراعية, 1015, 2017, 37:54:
- [12] مصطفى, احمد احمد. الخرائط الكنتورية تفسيرها و قطاعاتها. قسم الجغرافية- كلية الأداب جامعة الاسكندرية, 1998.
- [13] العمري, جميل عبد حمزة ., التقييم الجغرافي لاهم معادلات حساب الجريان السطحي في الأحواض المائية, مجلة كلية التربية الأساسية للعلوم التربوية والإنسانية, 42 (1), ص:886:476, 2019.
- [14] حسين, أحمد حسين, تحليل الخصائص المور فومترية والهيدرولوجية لحوض وادي العبرة غرب محافظة نينوى, مجلة جامعة كركوك



المرج,124, ص:1:16. 2518-,2020, ألمرج,5845.

- [18] United State Geological Survey. 2020. Digital Elevation model for North East Libya. https://www.earthexplorer.usgs.gov [Accessed October, 2021].
 - [19] المركز الوطني للأرصاد الجوية، بنغازي ,1977) (2020, محطة أرصاد بنينا، بيانات غير منشورة. العكام, اسحاق صالح., محمد, جميلة فاخر., تقدير مخاطر الجريان السطحي لستة احواض في الهضبة الغربية, مجلة كلية التربية للبنات, جامعة بغداد,:27(5), ص:1544:1536.

للدراسات الإنسانية, 14(2), ص:303:276.303, 2019.

- [15] داود, جمعة محمد, اسس التحليل المكاني في اطار نظم معلومات الجغرافية, مكة المكرمة, المملكة العربية السعودية, 2012.
- [16] الشلطامي أسامة، العشيبي, فارس فارس. هويدي, فرج الريشي. الجيولوجيا الاقليمية لحوض برقة, المؤتمر الافتراضي لجيولوجيا الوطن العربي, موروني جزر القمر, 30 أكتوبر 2020.
- [17] صالح, منصف محمد. المهدي, علي محمد. الأشهب, سعد رجب, جيمور فولوجية سبخة الكوز شمال شرق ليبيا دراسة في الجغرافيا الطبيعية. المجلة الليبية العالمية, جامعة بنغازي كلية التربية –